

آنتن ریز نواری چاپی باند وسیع بارگذاری شده با ساختار AMC پهن‌باند برای سیستم‌های MIMO

حسین ملک‌پور و علی ابوالمعصومی

است، استفاده از یک بازتاب کننده مغناطیسی ساختگی (AMC) می‌باشد [۱۰] تا [۱۵]. این نوع ساختار اولین بار در سال ۱۹۹۹ ارائه شد [۱۰] و تا کنون به صورت گسترده در آنتن‌ها و ادوات الکترومغناطیسی استفاده شده است. این نوع ساختارها از یک شبکه متنابوب تشکیل شده‌اند که بر روی یک لایه دی‌الکتریک قرار می‌گیرند و لایه دی‌الکتریک از قسمت زیرین زمین شده است. ویژگی منحصر به فرد این نوع ساختار در ضریب فاز بازتابی آن است. زمانی که ساختار در معرض تابش موج قرار می‌گیرد، در فرکانسی خاص ضریب فاز موج بازتابی صفر درجه است و باعث می‌شود این ساختار مشابه یک رسانای مغناطیسی عمل کند [۱۱]. طبق تحقیقات انجام‌شده در زمینه تئوری تصویر، هنگامی که المان به سطح نزدیک باشد، رسانای مغناطیسی کامل دارای عملکرد بهتری نسبت به رسانای الکتریکی کامل است. بنابراین ساختار AMC می‌تواند در فاصله کمتری از آنتن نسبت به رسانای الکتریکی، عملکرد بهتری داشته باشد که باعث افزایش جهت‌دهی آنتن، کوچک‌بودن ابعاد آن و بهبود عملکرد ادوات ریزموچ شود [۱۶] تا [۲۰]. نتایج به دست آمده در [۱۶]، آرایه پیچ پهن‌باند با بارگذاری انواع سطوح AMC مارپیچی را نشان می‌دهد. با توجه به پهنای باند کم اکثر سطوح AMC، دستیابی به ساختارهای پهن‌باند همواره مورد توجه قرار گرفته است [۲۱] تا [۲۹]. در [۲۹]، آنتن کم‌ضخامت پهن‌باند با صفحه زمین AMC پیشنهادی، پهنای باند امپدانسی گسترش شبکه‌های مخابراتی بی‌سیم، استفاده از فناوری موردنیشان می‌دهد. ضمناً با چندین ورودی و چندین خروجی (MIMO) به عنوان راه حل مؤثری در بهبود قابلیت اطمینان و کیفیت سیگنال موردن توجه قرار گرفته است [۳۰] تا [۳۸]. در این زمینه، آنتن‌های چاپی با تمرکز روی ارتقای خواص تشعشعی و امپدانسی برای کاربرد سیستم‌های بی‌سیم و دسترسی نقاط نزدیک ارائه شده‌اند [۳۶] تا [۳۸].

آنتن طراحی شده در این مقاله شامل ساختار آنتن چاپی و سطح مسطح متنابوب است. طرح پیشنهادی از یک جفت آنتن چاپی تشکیل شده که المان چاپی اول از طریق تعذیه کواکسیال مستقیماً تعذیه می‌شود و المان چاپی دوم توسط خط تعذیه E‌شکل در قسمت زیر تزویج می‌گردد. در قسمت AMC از یک ساختار جدید استفاده شده تا بر اساس خواص بازتابی در محدوده پهن‌باند عمل کند. این ساختار دارای ابعادی کوچک است به طوری که ابعاد آن در حدود $62 \times 7 \text{ mm}^2$ می‌باشد و فضای کمی برای اختصاص به آنتن نیاز است. به دلیل خطی بودن قطبش آنتن‌ها، ساختار پیشنهادی دارای جداکنندگی مناسبی است. ساختار آنتن می‌تواند در بازه فرکانس $5/2 - 5/8 \text{ GHz}$ WLAN و $5/5 \text{ GHz}$ WiMAX با تلفات بازگشتی پایین و الگوی تشعشعی با جهت‌دهی مناسب کار کند که می‌تواند برای کاربردهای بی‌سیم مناسب باشد. ضمناً عملکرد آرایه‌ای از

چکیده: در این مقاله یک آنتن چاپی پهن‌باند روی سطح رسانای مغناطیسی ساختگی ارائه شده که می‌توان از آن در کاربردهای بی‌سیم مانند WLAN و WiMAX و سیستم‌های چندین ورودی و چندین خروجی (MIMO) استفاده کرد. در ساختار پیشنهادی، سطح رسانای مغناطیسی ساختگی (AMC) مسطح به عنوان صفحه زمین برای یک طرفه شدن الگوی آن و افزایش پهنای باند امپدانسی استفاده شده است. طرح آنتن پیشنهادی از دو المان ریز نوار چاپی تعذیه شده به وسیله یک خط میکرواستریپی E‌شکل برای تزویج المان‌های چاپی تعذیه شده است. پهنای باند آنتن پیشنهادی از $6/9$ تا $4/4$ گیگاهرتز در محدوده موج برگشتی حدود $10 - 15 \text{ dB}$ با اضافه کردن سطح AMC به آنتن فاز بازتابی آن است. سلول واحد AMC از $5/5$ تا $7/15 \text{ dB}$ گیگاهرتز برای می‌شود. سلول واحد AMC از $5/5$ تا $7/25 \text{ dB}$ به دست آید. نتایج شیوه‌سازی خواص امپدانسی آنتن به وسیله نرم‌افزارهای تمام موج HFSS و CST انجام گرفته است. همچنین، آرایه دوالمانه از طرح پیشنهادی برای قطبش‌های مختلف مورد بررسی قرار گرفته است. بر اساس نتایج به دست آمده، پهنای باند کاری محدوده $6/81$ تا $5/18 \text{ dB}$ گیگاهرتز را در بر می‌گیرد و جداکنندگی بین عناصر آرایه کمتر از -22 dB است. به همین منظور، آرایه آنتن‌ها می‌تواند برای سیستم‌های MIMO مورد استفاده قرار گیرد.

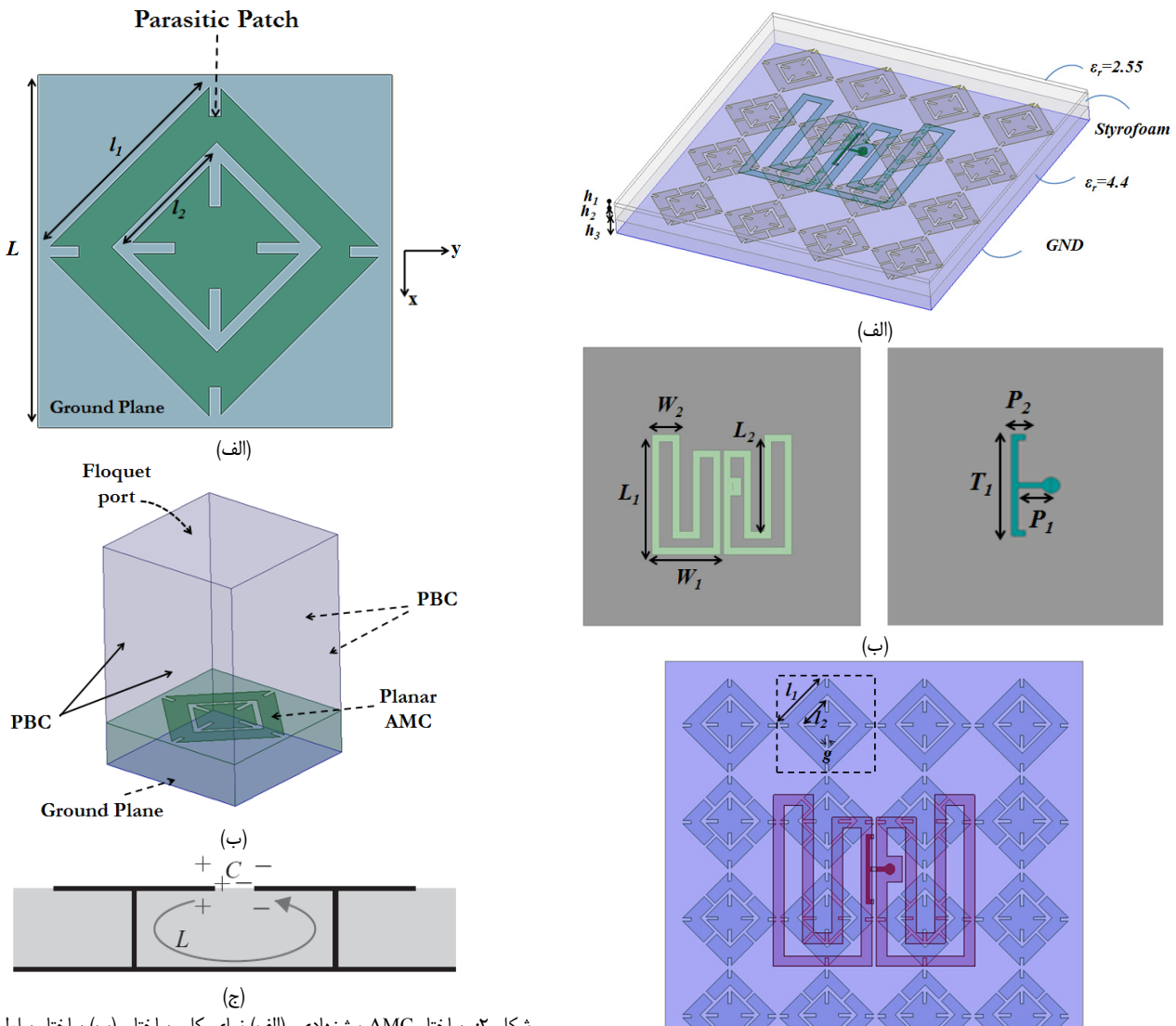
کلیدواژه: آنتن چاپی، رسانای مغناطیسی ساختگی (AMC)، پهن‌باند، WLAN، WiMAX.

۱- مقدمه

کاربردهای متعدد الکترومغناطیس و ظهور سیستم‌های پهن‌باند مستلزم طراحی تشعشع کننده‌های پهن‌باند است. استفاده از یک آنتن ساده، کوچک، سبک و اقتصادی برای کار در تمام بازه فرکانسی یک سیستم طراحی شده، بسیار مطلوب خواهد بود. یک گرینه مناسب برای این گونه آنتن‌ها، آنتن چاپی است. روش‌های مختلفی به منظور افزایش پهنای باند آنتن‌های چاپی ارائه شده است [۱] تا [۹]. از جمله این روش‌ها می‌توان به به کار بردن پین‌های اتصال کوتاه [۳]، پیچ‌های E‌شکل و U‌شکل [۶] و [۷] و پیچ‌های پارازیتی و روی هم قرار داده شده [۸] و [۹] اشاره نمود. یکی از ایده‌هایی که برای افزایش پهنای باند آنتن‌های چاپی مطرح شده

این مقاله در تاریخ ۱۳ اسفند ماه ۱۳۹۹ دریافت و در تاریخ ۱ آذر ماه ۱۴۰۰ بازنگری شد.

حسین ملک‌پور (نویسنده مسئول)، گروه مهندسی برق، دانشکده فنی و مهندسی، دانشگاه اراک، اراک، ایران، (email: h-malekpoor@araku.ac.ir). علی ابوالمعصومی، گروه مهندسی برق، دانشکده فنی و مهندسی، دانشگاه اراک، اراک، ایران، (email: Ali.Abolmasoumi@gmail.com).



شکل ۲: ساختار AMC پیشنهادی، (الف) نمای کلی ساختار، (ب) ساختار سلول نامحدود با شرایط مرزی متنابض شبیه‌سازی شده و (ج) مدل LC فشرده برای آنالیز EBG.

میلی‌متری (h_1) از جنس FR4 قرار گرفته و قسمت زیرین زیرلايه صفحه زمین قرار دارد. در شکل‌های ۱-ج و ۲ مشخصات مربوط به ساختار AMC قابل مشاهده است. فاصله بین قسمت‌های پارازیتی سلول با شرایط مرزی متنابض شبیه‌سازی شده و (ج) مدل LC فشرده برای آنالیز EBG میلی‌متری (h_1) از جنس FR4 قرار گرفته و قسمت زیرین زیرلايه

صفحه زمین قرار دارد. در شکل‌های ۱-ج و ۲ مشخصات مربوط به

ساختار AMC کنندگان می‌باشد. فاصله بین قسمت‌های پارازیتی سلول

میلی‌متری (h_1) برابر با 0.5 میلی‌متر است.

سلول واحد AMC ترسیم شده در شکل ۱-ج از پچ‌های پارازیتی کوپل شده با پچ مرکزی لوزی‌شکل تشکیل گردیده است. مشخصات الکتریکی و هندسی و پارامترهای تعیین‌کننده در پهنه‌ای باند ساختار AMC مسطح هستند. مشخصات هندسی شامل تزویج عناصر پچ‌های پارازیتی خواهد بود و مشخصات الکتریکی، اثراتی همچون خامت زیرلايه و ثابت دی‌الکتریک زیرلايه را شامل می‌شود. ابعاد لوزی‌شکل قسمت AMC با دو متغیر l_1 و l_2 تعريف شده است. برای ایجاد فاز بازتابی صفر درجه در فرکانس مورد نظر، این دو متغیر در بازه‌های پانزده نسبی و امپدانس این تشیدی‌کننده معادل از روابط زیر محاسبه می‌شود

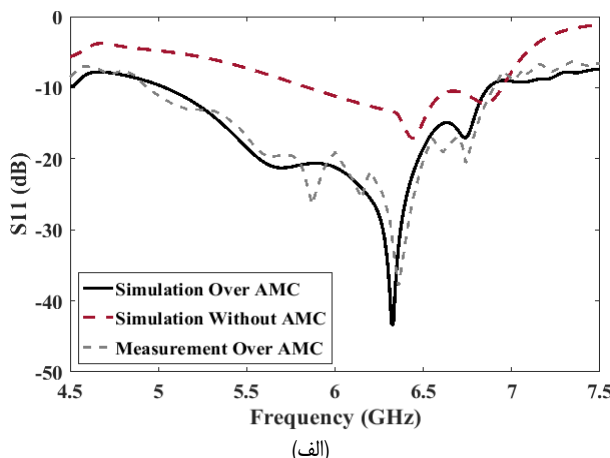
$$\omega = \frac{1}{\sqrt{LC}} \quad (1)$$

شکل ۱: پیکربندی آنتن و ساختار AMC مربوط به مقاله، (الف) نمای کلی ساختار، (ب) نمای بالایی (شکل چپ) و زیرین (شکل راست) زیرلايه آنتن و (ج) نمای مربوط به ساختار AMC (شکل چپ)، ($h_1 = 10.6$ mm, $L_1 = 26.5$ mm, $L_2 = 21.4$ mm, $T_1 = 1.0$ mm, $W_1 = 15.14$ mm, $W_2 = 6.11$ mm, $P_1 = 3.13$ mm, $P_2 = 1.28$ mm).

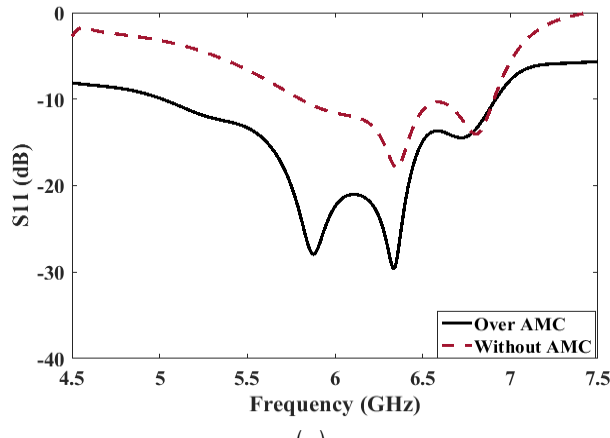
این آنتن نیز برای قطیش‌های مختلف برای کاربرد سیستم‌های MIMO مورد بررسی قرار گرفته است.

۲- ساختار و عملکرد آنتن پیشنهادی

ساختار آنتن پیشنهادی از سه لایه آنتن چاپی، فوم پلی‌استرن و سطح AMC متنابض تشکیل شده است. مطابق شکل ۱-الف و ۱-ب در لایه بالایی، روی آنتن دو المان مربوط به آنتن چاپی قرار دارند و در قسمت زیرین آن خط تقدیمه شکل مربوط به تقدیمه المان دوم قرار گرفته است. المان چاپی اول و خط E شکل به یک خط تقدیمه هم محور بلند در محل تقدیمه متصل گردیده است و المان دوم توسط خط تقدیمه تزویج می‌شود. ساختار آنتن چاپی روی یک زیرلايه با ضخامت 0.8 میلی‌متر (h_1)، ابعاد 62×62 mm² و با ثابت دی‌الکتریک 2.55 چاپ شده است. به منظور ایجاد فاصله بین آنتن و ساختار AMC از یک لایه 3 میلی‌متری (h_2) فوم پلی‌استرن استفاده گردیده است. در قسمت زیرین آنتن یک ساختار 4×4 قرار داده شده که این ساختار بر روی یک زیرلايه 3 AMC



(الف)



(ب)

شکل ۵: نمودار ضریب بازتاب آنتن در حالات مختلف در نرمافزار (الف) HFSS و .CST (ب)

EBG به کار می‌رود. مطابق شکل ۲-ب، از تئوری فلوکوه^۱ در شبیه‌سازی یک سلول واحد بینهایت در ساختارهای متناوب استفاده شده است. دستیابی به خواص بازتابی یک سلول از روش عددی المان محدود (FEM) در شبیه‌ساز HFSS و تعریف شرایط مرزی متناوب (PBC) برای وجوده کناری صورت می‌گیرد. نمونه‌های پیاده سازی شده آنتن و سطح AMC در شکل ۳ مشاهده می‌شود.

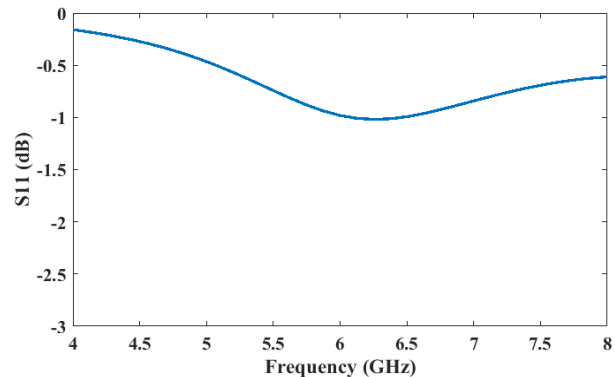
۳- نتایج شبیه‌سازی و اندازه‌گیری ساختار پیشنهادی

شبیه‌سازی ساختار پیشنهادی در نرمافزارهای تمام موج HFSS و CST انجام شده است. در شکل ۴، تغییرات دامنه و فاز بازتابی سلول واحد پیشنهادی برای زاویه تابش عمودی در قطبش‌های درجه ترسیم شده است. این شبیه‌سازی به دلیل تقارن ساختار AMC برای امواج TE و TM دارای جواب یکسانی خواهد بود. بر همین اساس، پهنهای باند AMC از -90° تا 90° ، برای تابش عمودی محدوده فرکانسی $5/24-7/15$ GHz را شامل می‌شود.

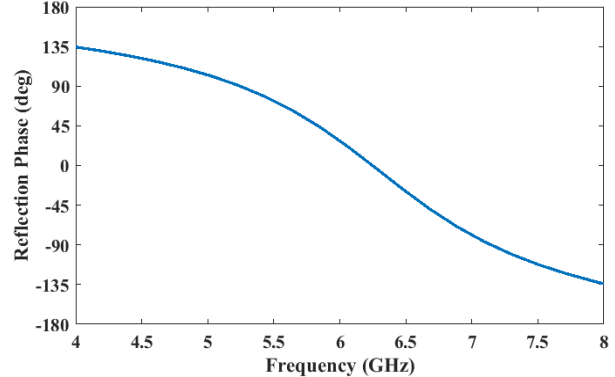
شکل ۵ ضریب بازتاب (S₁₁) مربوط به آنتن پیشنهادی بر روی ساختار AMC مسطح به وسیله نرمافزارهای HFSS و CST را نشان می‌دهد. مطابق شکل ۵-الف، پهنهای باند اندازه‌گیری شده شامل محدوده فرکانسی $4/94-6/90$ GHz (۴۳۳/۱٪) برای HFSS و $S_{11} \leq -10$ dB بر اساس روش المان محدود شامل ۵ تا $6/88$ گیگاهرتز در محدوده موج برگشتی حدود -10 دسی‌بل می‌باشد.



شکل ۳: نمونه‌های پیاده‌سازی شده آنتن و سطح AMC.



(الف)



(ب)

شکل ۴: نمودار دامنه و فاز بازتابی برای تابش عمودی سلول واحد پیشنهادی.

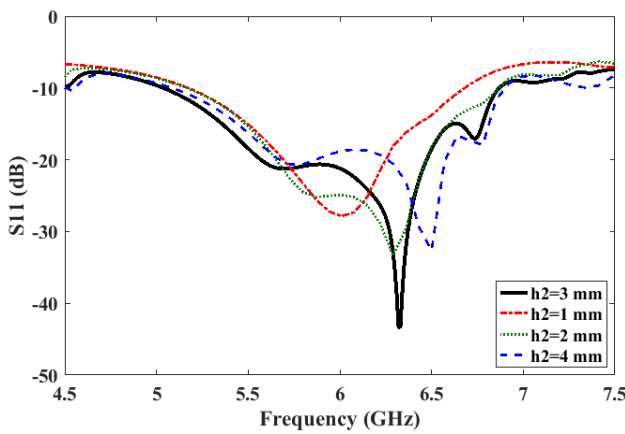
$$Z = \frac{j\omega L}{1 - \omega^2 LC} \quad (2)$$

$$BW = \frac{\Delta\omega}{\omega} = \frac{1}{\eta} \sqrt{\frac{L}{C}} \quad (3)$$

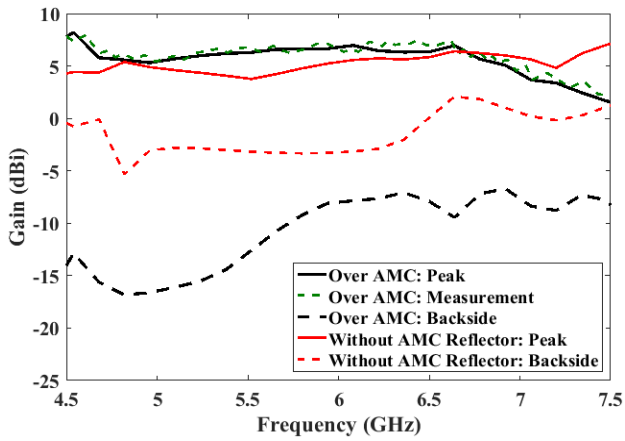
$$C = \frac{W\epsilon_r(1+\epsilon_r)}{\pi} \cosh^{-1} \frac{W+g}{g} \quad (4)$$

$$L = \mu h \quad (5)$$

برای آنالیز ویژگی‌های یکنای ساختارهای EBG، روش‌های مختلفی به کار برده می‌شود [۶] که این روش‌ها را می‌توان به سه دسته تقسیم کرد: (۱) مدل عنصر فشرده، (۲) روش خط انتقال متناوب و (۳) روش‌های عددی تمام موج. مدل عنصر فشرده ساده‌ترین روش آنالیز است که مطابق شکل ۲-ج، ساختار EBG را به صورت یک مدار رزونانسی LC توصیف می‌کند. مقادیر اندوکتانس L و خازن C به وسیله هندسه EBG تعیین می‌شوند و رفتار رزونانسی آن جهت توصیف خواص شکاف باند ساختار



شکل ۶: نمودار تغییرات ضریب بازتاب ورودی آتن با تغییرات فاصله هوایی آتن و ساختار AMC.



شکل ۷: نمودار تغییرات ضریب بازتاب ورودی آتن با تغییرات l_1 و l_2 .

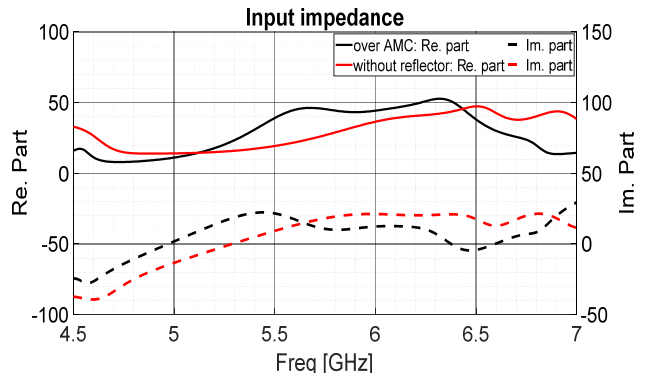
میلی‌متر است. با توجه به نزدیکبودن نمودار تلفات بازگشتی حالات ۳ و ۴ میلی‌متر، در فرکانس کاری WLAN و WiMAX، به منظور کوچک‌ترشدن ابعاد آتن، فاصله ۳ میلی‌متر برای آتن انتخاب شد. در بازه فرکانس کاری، تلفات بازگشتی کمتر از -۲۰ دسی‌بل است.

در شکل ۹ نمودار بهره در جهت عمود بر سطح و مؤلفه‌های میدان آتن در حالات مختلف نشان داده شده است. ساختار AMC باعث کاهش تشعشع ناخواسته در قسمت زیر آتن می‌شود و راندمان آتن را نسبت به حالات PEC و بدون بازتاب کننده افزایش می‌دهد. آتن بر روی ساختار AMC مسطح دارای ماسکیموم بهره اندازه‌گیری شده بیش از ۷/۲۵ dBi در جهت تشعشع بین فرکانس ۵ تا ۶/۹ گیگاهرتز می‌باشد که نسبت به ساختار بدون بازتاب کننده بهبود یافته و با بازتاب کننده PEC یکسان است ولی به دلیل کاهش تشعشعات نامطلوب، پهنای بیم نصف توان آن افزایش یافته است.

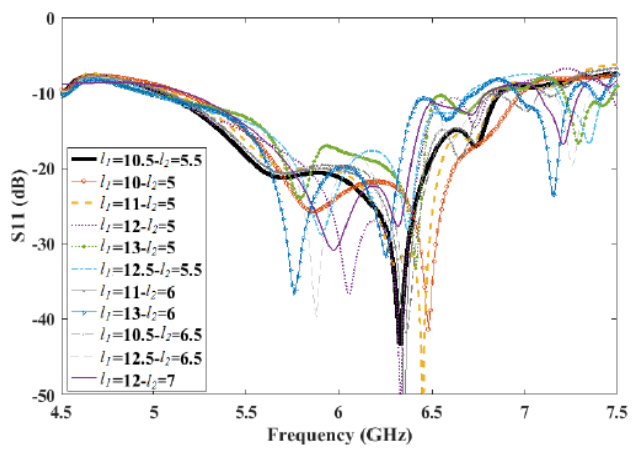
خط تغذیه E شکل در آتن باعث افزایش ترویج بین دو المان چاپی شده و در نتیجه باعث تقارن پترن تشعشعی آتن می‌گردد. با توجه به کاربرد آتن در باند WiFi و WiMax، در شکل ۱۰ الگوی تشعشعی آتن و همچنین میدان‌های تشعشعی الکترونیکی در فرکانس‌های کاری ۵/۸، ۵/۵ و ۶ در دو صفحه E و H نشان داده شده است. همان‌طور که مشاهده می‌شود، شکل الگوی تشعشعی در بازه‌های فرکانس کاری پایدار و با تغییرات جزئی است.

۴- آتن آرایه پیشنهادی

آتن طراحی شده را می‌توان برای دست‌یافتن به کارکرد سیستم‌های



شکل ۸: نمودار امپدانس ورودی آتن در حالات مختلف.



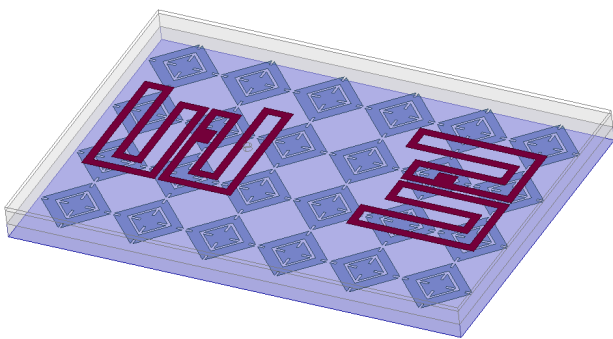
شکل ۹: نمودار تغییرات ضریب بازتاب ورودی آتن با تغییرات l_1 و l_2 .

به طور مشابه، مطابق شکل ۵- ب نتیجه شبیه‌سازی در نرم‌افزار CST محدوده ۵ تا ۶/۹۲ گیگاهرتز را در بر می‌گیرد. با به کار بردن سطح AMC متنابع به عنوان بازتاب‌دهنده، تطبیق امپدانس در سرتاسر پهنه‌ای باند بهبود یافته و تا -۴۴ می‌رسد، در صورتی که تطبیق امپدانس در ساختار پیشنهادی بدون AMC به -۱۷ dB رسید.

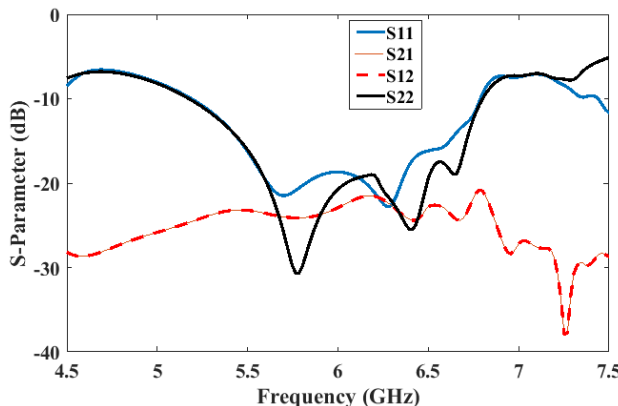
همچنین ساختار پیشنهادی بدون بازتاب‌دهنده به منظور نمایش اثر بازتاب‌کننده AMC با پهنای باند ۵/۸۵-۶/۹۵ GHz کاری آتن شده است. با کاهش فرکانس کاری آتن به فرکانس‌های پایین‌تر، کاهش اندازه قابل مقولی برای ساختار پیشنهادی با AMC در مقایسه با ساختار بدون AMC حاصل می‌شود. در شکل ۶ نمودار امپدانس ورودی در حالات مختلف آورده شده است. همان‌طور که مشاهده می‌شود، مقدار حقیقی امپدانس ورودی در حدود فرکانس ۵ گیگاهرتز نسبت به حالت بدون بازتاب‌دهنده به ۵۰ اهم نزدیک‌تر است. همچنین ساختار AMC باعث شده تا در محدوده فرکانس کاری اطراف ۶ گیگاهرتز، راکتانس ورودی نزدیک به صفر باشد. بنابراین در بازه فرکانسی کاری آتن با اضافه‌شدن ساختار AMC به آتن، مقاومت ورودی به ۵۰ اهم نزدیک‌تر شده که در مقایسه با حالات دیگر باعث افزایش پهنای باند آتن می‌شود.

شکل ۷ ضریب بازتاب ورودی حاصل شده برای تغییرات l_1 و l_2 مربوط به ساختار AMC را در بازه‌های تعیین شده نشان می‌دهد. در حالت $l_1 = 10.5$ و $l_2 = 5$ ، آتن کارکرد بهینه نسبت به سایر حالات دارد. در این حالت تلفات بازگشتی در بازه فرکانسی آتن بیشتر از ۱۵ dB است و در اکثر محدوده فرکانس کاری بیشتر از ۲۰ dB می‌باشد.

شکل ۸ تغییرات ضریب بازتاب ورودی با تغییر فاصله هوایی بین ساختار AMC و آتن را نشان می‌دهد. در فاصله ۳ میلی‌متر آتن دارای پهنای باند بیشتر و تلفات بازگشتی کمتری نسبت به حالات ۱ و ۲



شکل ۱۱: پیکربندی آنتن در حالت آرایه دوالمانه.

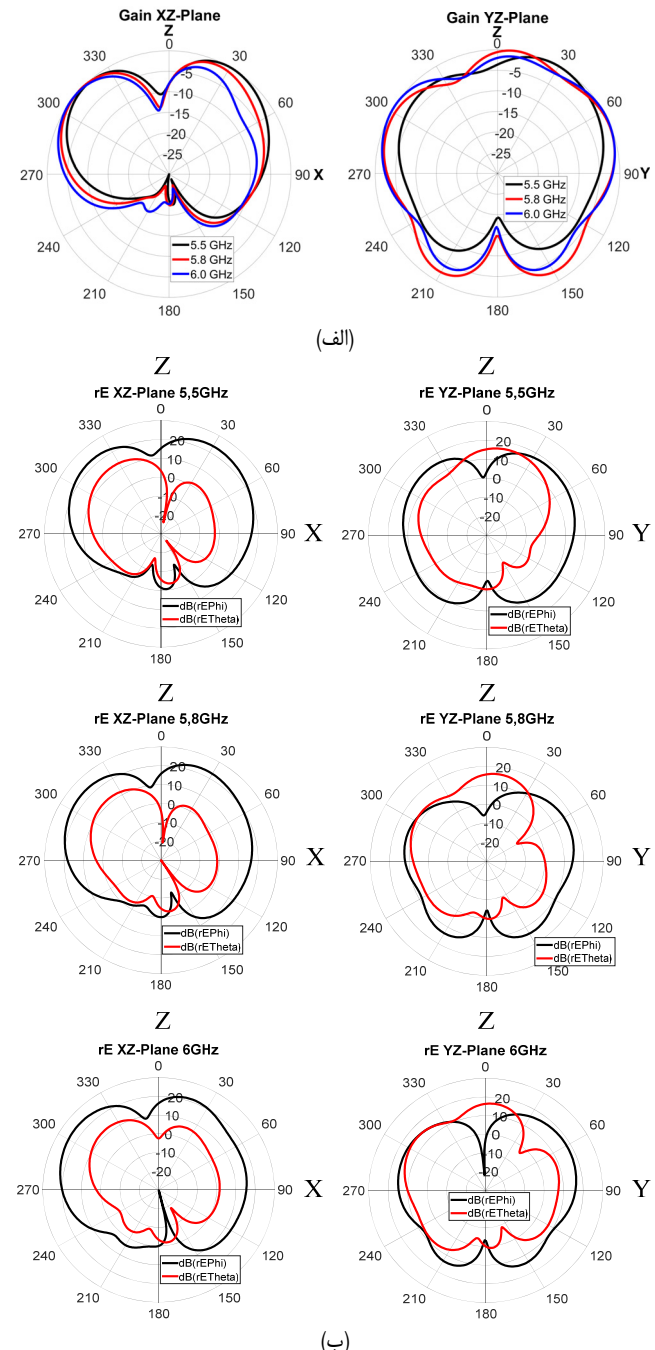


شکل ۱۲: ضرایب بازتاب آنتن در حالت آرایه دوالمانه.

یک آنتن آرایه در ابعاد کوچک قابل قبول است.

حالات دیگر قرارگیری دو المان کنار یکدیگر نیز از لحاظ جداکنندگی مورد بررسی و مطالعه قرار گرفته و نوع پیکربندی و نمودار جداکنندگی در شکل ۱۳ آورده شده است. از نمودار جداکنندگی به دست آمده در شکل ۱۳-ب نتیجه می‌شود در موقعیتی که دو المان به صورت عمودی قرار گرفته‌اند، به دلیل خطی بودن قطبش المان‌ها، کوبیلیک کمتری بین دو المان وجود دارد. همچنین هرچه فاصله دو المان از هم بیشتر شود، جداکنندگی بین دو المان بهتر خواهد شد. از نمودار جداکنندگی مشخص است در حالتی که دو المان به صورت عمود قرار گرفته‌اند، نسبت به حالت اول و سوم، جداکنندگی بهتری در فرکانس کاری دارد و قطبش کمتر را نشان می‌دهد. اما به دلیل خطی بودن قطبش هر المان، حالتی که دو المان به صورت عمود بر هم قرار دارند باعث ایجاد تنوع در قطبش آنتن آرایه می‌شود.

شکل ۱۴-الف و ۱۴-ب نمودار بهره نرمالیزه و میدان تشعشعی الکتریکی آنتن آرایه را در فرکانس‌های کاری نشان می‌دهد. با توجه به شکل، در حالت آرایه مقداری به تشعشعات نامطلوب در قسمت زیر آنتن افروده شده است. به دلیل قطبش متعامد دو المان آرایه و جداکنندگی مناسب، پتن تقریباً جهتی بودن خود را حفظ کرده است. شکل ۱۴-ج نمودار بهره آنتن را نشان می‌دهد. با توجه به نمودار آنتن در محدوده باند فرکانسی کاری، ماکسیمم بهره نزدیک به 8.5 dB است و بازدهی بالایی به دست می‌آید که کارکرد خوب آنتن در حالت آرایه را نشان می‌دهد. در مقایسه با طرح پیشنهادی ارائه شده در [۳۴]، استفاده از ساختار AMC پیشنهادی منجر به بهره ماکسیمم بیشتر و تطبیق امپدانس مناسب‌تر شده است. در [۳۴]، ماکسیمم بهره بیش از 7 dBi و حداقل تطبیق امپدانس به -20 dB می‌رسد. مطابق با شکل ۴-ب، طرح پیشنهادی AMC لوزی‌شکل در مقایسه با سلول واحد پیچ مربعی ساده ارائه شده در [۳۴]، پهنه‌ای باند AMC بیشتری را نشان می‌دهد و بر همین اساس تطبیق

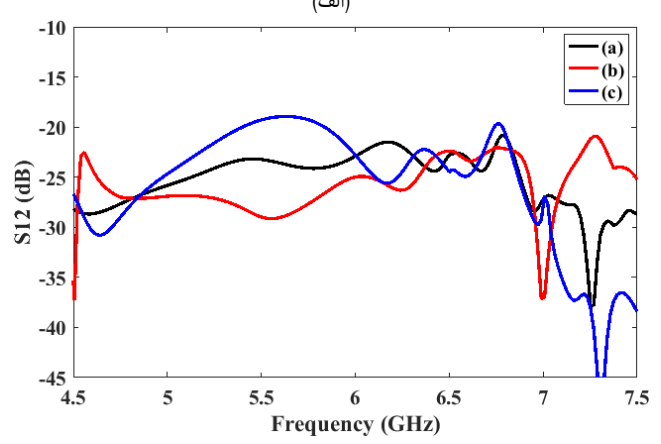
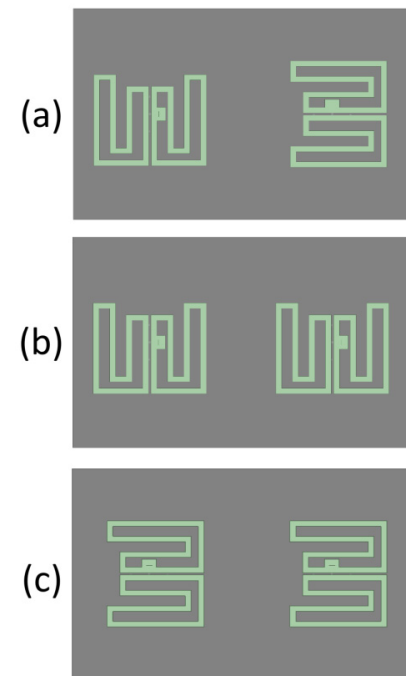
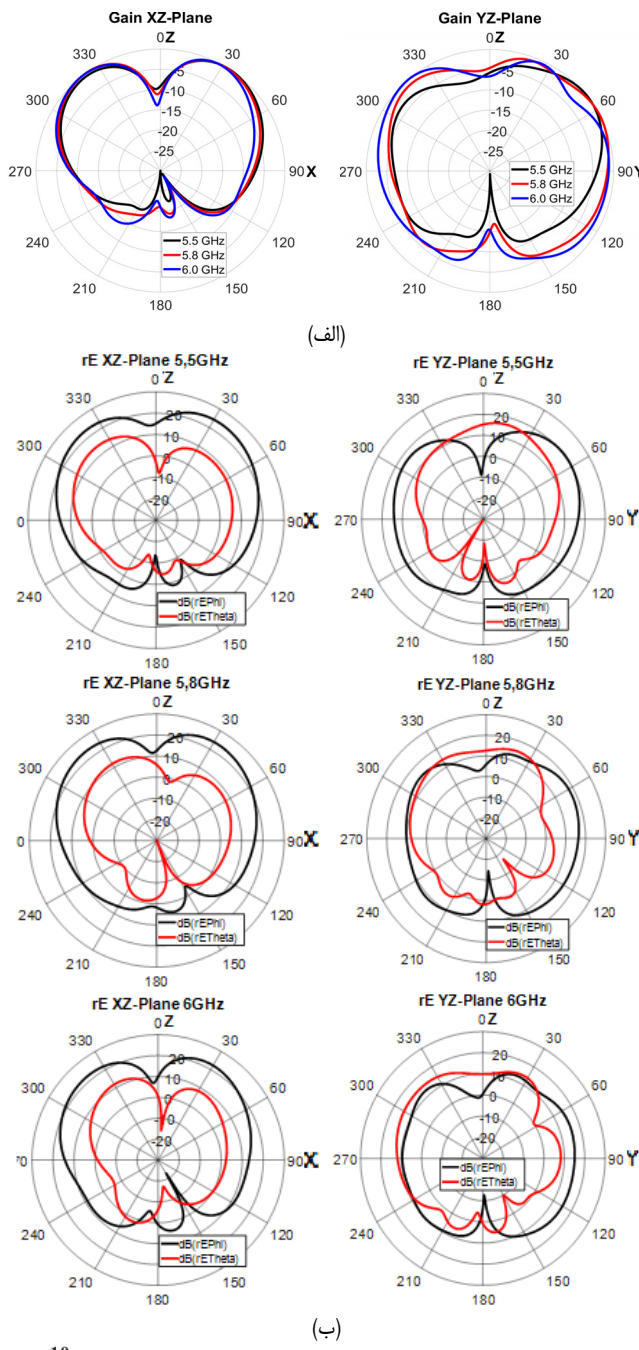


شکل ۱۰: (الف) نمودار الگوی تشعشعی بهره نرمالیزه آنتن بر روی ساختار AMC در فرکانس‌های ۵,۵ و ۵,۸ گیگاهرتز در صفحه E و H و (ب) نمودار الگوی تشعشعی میدان E_θ در E_ϕ و E_θ در E_ϕ .

MIMO به صورت آرایه استفاده کرد. در ادامه آرایه دوالمانه آنتن طراحی شده از لحاظ بهره، جداکنندگی و ضرایب بازتاب مورد بررسی قرار می‌گیرد.

پیکربندی کلی آرایه دوالمانه در شکل ۱۱ مشاهده می‌شود. به دلیل خطی بودن قطبش آنتن پیشنهادی، دو المان آنتن به صورتی قرار گرفته‌اند تا قطبش‌های مختلف در آرایه ایجاد شود. فاصله بین دو المان 23 میلی‌متر در نظر گرفته شده تا جداکنندگی مناسب بین دو المان به دست آید. ابعاد کلی آرایه دوالمانه برابر با $61 \times 92 \times 7 \text{ mm}^3$ است.

شکل ۱۲ نمودار ضرایب بازتاب برای آرایه دوالمانه آنتن می‌دهد. در بازه فرکانسی $5/18$ تا $6/81$ گیگاهرتز تلفات بازگشتی دو المان کمتر از 10 dB است و آنتن می‌تواند در باند فرکانسی WiFi و WiMAX عمل کند. همچنین در این بازه جداکنندگی کمتر از -22 dB است که برای

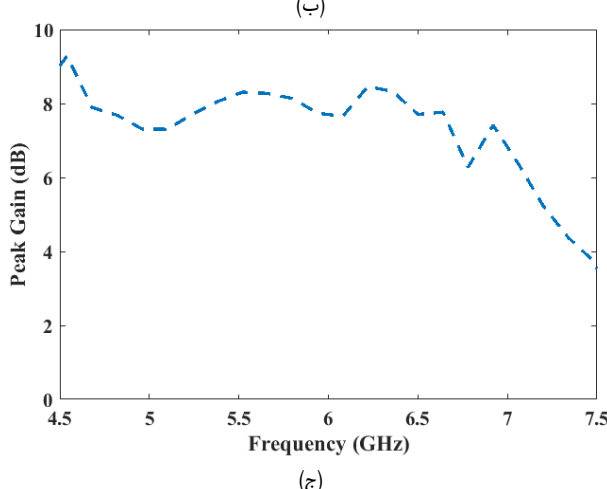


شکل ۱۳: (الف) پیکربندی آرایه دوالمانه در حالات مختلف و (ب) نمودار جداکنندگی بین دو المان آرایه در هر حالت.

امپدانس آتنن بارگذاری شده وضعیت بهتری را نتیجه می‌دهد.

۵- نتیجه‌گیری

در این مقاله آتنن ریز نواری طراحی و پیاده‌سازی شد که پهنه‌ی باند آن از ۴/۹۴ تا ۶/۹ گیگاهرتز و موج برگشتی کمتر از ۱۰ دسی‌بل است. آتنن از دو بازوی المان چاپی تشکیل گردیده و برای تعزیه آن، از یک کابل هم محور متصل به بازوی اول استفاده شده و بازوی دوم توسط خط تعزیه E شکل تعزیه می‌شود. بهره کمینه این آتنن در نمونه ساخته شده بیش از ۷/۲۵ دسی‌بل و در حالت آرایه دوالمانه، حدود ۸/۵ دسی‌بل است که برای آتنن چاپی بسیار مطلوب می‌باشد. برای یک طرفه شدن الگوی تشعشعی این آتنن، بهمود عملکرد تشعشعی و همچنین افزایش پهنه‌ی باند، یک ساختار AMC پهن‌باند به عنوان صفحه زمین به آتنن اضافه شده است. همچنین آتنن در حالت آرایه دوالمانه مورد بررسی قرار گرفت. در این حالت، پهنه‌ی باند امپدانسی در محدوده ۵/۱۸-۶/۸۱ GHz با جداکنندگی و مشخصات تشعشعی مطلوب و قطبش‌های متعامد برای استفاده در سیستم‌های MIMO حاصل می‌شود.



شکل ۱۴: (الف) پترن بهره نرمالیزه آتنن، (ب) الگوی تشعشعی میدان الکتریکی و (ج) نمودار بهره.

- [22] N. A. Abbasi and R. J. Langley, "Multiband-integrated antenna/artificial magnetic conductor," *IET Microw. Antennas Propag.*, vol. 5, no. 6, pp. 711-717, Apr. 2011.
- [23] Y. Zheng, J. Gao, X. Cao, Z. Yuan, and H. Yang, "Wideband RCS reduction of a microstrip antenna using artificial magnetic conductor structures," *IEEE Antennas Wireless Propag. Lett.*, vol. 14, pp. 1582-1585, Oct. 2015.
- [24] M. E. de Cos, Y. Alvarez, and F. L. Heras, "Planar artificial magnetic conductor: design and characterization setup in the RFID SHF band," *Journal of Electromagnetic Waves and Applications*, vol. 23, pp. 1467-1478, Mar. 2009.
- [25] H. Malekpoor, "Comparative investigation of reflection and band gap properties of finite periodic wideband artificial magnetic conductor surfaces for microwave circuits applications in X-band," *International J. of RF and Microwave Computer-Aided Engineering*, vol. 29, no. 10, Article ID: e21874, Oct. 2019.
- [26] A. Foroozesh and L. Shafai, "Investigation into the application of artificial magnetic conductors to bandwidth broadening, gain enhancement and beam shaping of low profile and conventional monopole antennas," *IEEE Trans. Antennas Propag.*, vol. 59, no. 1, pp. 4-20, Jan. 2011.
- [27] W. Yang, H. Wang, W. Che, and J. Wang, "A wideband and high-gain edge-fed patch antenna and array using artificial magnetic conductor structures," *IEEE Antennas Wireless Propag. Lett.*, vol. 12, pp. 769-772, Jun. 2013.
- [28] B. S. Cook and A. Shamim, "Flexible and compact AMC based antenna for telemedicine applications," *IEEE Trans. Antennas Propag.*, vol. 61, no. 2, pp. 524-531, Oct. 2013.
- [29] D. Feng, et al., "A broadband low-profile circular-polarized antenna on an AMC reflector," *IEEE Antennas Wireless Propag. Lett.*, vol. 16, pp. 2840-2843, Sept. 2017.
- [30] S. Yan, P. J. Soh, M. Mercuri, D. Schreurs, and G. A. E. Vandenbosch, "Low profile dual-band antenna loaded with artificial magnetic conductor for indoor radar systems," *IET Microw. Antennas Propag.*, vol. 9, no. 2, pp. 184-190, Mar. 2015.
- [31] J. Liu, J. Y. Li, J. J. Yang, Y. X. Qi, and R. Xu, "AMC-loaded low-profile circularly polarized reconfigurable antenna array," *IEEE Antennas Wireless Propag. Lett.*, vol. 19, no. 7, pp. 1276-1280, Jul. 2020.
- [32] S. Rajagopal, G. Chennakesavan, D. R. P. Subburaj, R. Srinivasan, and A. Varadhan, "A dual polarized antenna on a novel broadband multilayer Artificial Magnetic Conductor backed surface for LTE/CDMA/GSM base station applications," *AEU-Int. J. Electron. Commun.*, vol. 80, pp. 73-79, Oct. 2017.
- [33] S. Ghosh, T. N. Tran, and T. L. Ngoc, "Dual-layer EBG based miniaturized multi-element antenna for MIMO systems," *IEEE Trans. Antennas Propag.*, vol. 62, no. 8, pp. 3985-3997, Aug. 2014.
- [34] G. Li, H. Zhai, L. Li, C. Liang, R. Yu, and S. Liu, "AMC-loaded wideband base station antenna for indoor access point in MIMO system," *IEEE Trans. Antennas Propag.*, vol. 63, no. 2, pp. 525-533, Feb. 2015.
- [35] J. Y. Deng, J. Y. Li, L. Zhao, and L. X. Guo, "A dual-band inverted-F MIMO antenna with enhanced isolation for WLAN applications," *IEEE Antennas Wireless Propag. Lett.*, vol. 6, pp. 2270-2273, Jun. 2017.
- [36] H. Malekpoor, A. Abolmasoumi, and M. Hamidkhani, "High gain, high isolation, and low-profile two-element MIMO array loaded by the Giuseppe Peano AMC reflector for wireless communication systems," *IET Microw. Antennas Propag.*, vol. 16, no. 1, pp. 46-61, Jan. 2022.
- [37] Z. Xu and C. Deng, "High-isolated MIMO antenna design based on pattern diversity for 5G mobile terminals," *IEEE Antennas Wireless Propag. Lett.*, vol. 19, no. 3, pp. 467-471, Mar. 2020.
- [38] J. Zhu, S. Li, S. Liao, and Q. Xue, "Wideband low-profile highly isolated MIMO antenna with artificial magnetic conductor," *IEEE Antennas Wireless Propag. Lett.*, vol. 17, no. 3, pp. 458-462, Mar. 2018.

حسین ملک‌پور تحصیلات خود را در مقطع کارشناسی مهندسی برق-الکترونیک در سال ۱۳۸۶ از دانشگاه یزد و در مقاطعه کارشناسی ارشد و دکتری مخابرات-میدان بهترتبه در سال‌های ۱۳۹۰ و ۱۳۹۵ از دانشگاه صنعتی شیراز به پایان رسانده است و هم اکنون استادیار گروه مهندسی برق، دانشکده فنی و مهندسی، دانشگاه اراک می‌باشد. زمینه‌های تحقیقاتی مورد علاقه ایشان عبارتند از: مایکروویو، مخابرات بی‌سیم، آتن، ساختارهای پریوپریک، آتن‌های آرایه فازی و رادر.

مراجع

- [1] S. Jam and H. Malekpoor, "Analysis on wideband patch arrays using unequal arms with equivalent circuit model in X-band," *IEEE Antennas Wireless Propag. Lett.*, vol. 15, pp. 1861-1864, 2016.
- [2] A. A. Roseline, K. Malathi, and A. K. Shrivastav, "Enhanced performance of a patch antenna using spiral-shaped electromagnetic bandgap structures for high-speed wireless networks," *IET Microw. Antennas Propag.*, vol. 5, no. 14, pp. 1750-1755, Nov. 2011.
- [3] H. Malekpoor and S. Jam, "Enhanced bandwidth of shorted patch antennas using folded-patch techniques," *IEEE Antennas Wirel. Propag. Lett.*, vol. 12, pp. 198-201, Feb. 2013.
- [4] H. Malekpoor and M. Hamidkhani, "Compact multi-band stacked circular patch antenna for wideband applications with enhanced gain," *Electromagnetics*, vol. 39, no. 4, pp. 241-253, Mar. 2019.
- [5] K. M. Mak, H. W. Lai, and K. M. Luk, "A 5G wideband patch antenna with antisymmetric L-shaped probe feeds," *IEEE Trans. Antennas Propag.*, vol. 66, no. 2, pp. 957-961, Nov. 2018.
- [6] H. Malekpoor and S. Jam, "Analysis on bandwidth enhancement of compact probe-fed patch antenna with equivalent transmission line model," *IET Microw. Antennas Propag.*, vol. 9, no. 11, pp. 1136-1143, Aug. 2015.
- [7] S. Wang, et al., "Wideband shorted patch antenna with a modified half U-slot," *IEEE Antennas Wireless Propag. Lett.*, vol. 11, pp. 689-692, Jun. 2012.
- [8] K. Klionovski and A. Shamim, "Physically connected stacked patch antenna design with 100% bandwidth," *IEEE Antennas Wireless Propag. Lett.*, vol. 16, pp. 3208-3211, Nov. 2017.
- [9] H. Malekpoor and M. Hamidkhani, "Performance enhancement of low-profile wideband multi-element MIMO arrays backed by AMC surface for vehicular wireless communications," *IEEE Access*, vol. 9, pp. 166206-166222, Dec. 2021.
- [10] H. Malekpoor and S. Jam, "Design, analysis, and modeling of miniaturized multi-band patch arrays using mushroom-type electromagnetic band gap structures," *International J. of RF and Microwave Computer-Aided Engineering*, vol. 28, no. 6, pp. 1-13, Apr. 2018.
- [11] L. Yang, M. Fan, F. Chen, J. She, and Z. Feng, "A novel compact electromagnetic-bandgap (EBG) structure and its applications for microwave circuits," *IEEE Trans. Microw. Theory Tech.*, vol. 53, no. 1, pp. 183-190, Jan. 2005.
- [12] R. C. Hadarig, M. E. de Cos, Y. Alvarez, and F. L. Heras, "Novel bow-tie antenna on artificial magnetic conductor for 5.8 GHz radio frequency identification tags usable with metallic objects," *IET Microw. Antennas Propag.*, vol. 5, no. 9, pp. 1097-1102, Dec. 2011.
- [13] A. Foroozesh and L. Shafai, "Effects of artificial magnetic conductors in the design of low-profile high-gain planar antennas with high-permittivity dielectric superstrate," *IEEE Antennas Wireless Propag. Lett.*, vol. 8, pp. 10-13, Feb. 2009.
- [14] P. Prakash, M. P. Abegaonkar, A. Basuand, and S. K. Koul, "Gain enhancement of a CPW-fed monopole antenna using polarization-insensitive AMC structure," *IEEE Antennas Wireless Propag. Lett.*, vol. 12, pp. 1315-1318, Oct. 2013.
- [15] H. Malekpoor and S. Jam, "Improved radiation performance of low profile printed slot antenna using wideband planar AMC surface," *IEEE Trans. Antennas Propag.*, vol. 64, no. 11, pp. 4626-4638, Nov. 2016.
- [16] D. Nashaat, H. A. Elsadek, E. A. Abdallah, M. F. Iskander, and H. M. E. Hennawy, "Ultrawide bandwidth 2×2 microstrip patch array antenna using electromagnetic band-gap structure (EBG)," *IEEE Trans. Antennas Propag.*, vol. 59, no. 5, pp. 1528-1534, Nov. 2011.
- [17] S. Jam and H. Malekpoor, "Compact 1×4 patch antenna array by means of EBG structures with enhanced bandwidth," *Microw. Opt. Technol. Lett.*, vol. 58, no. 12, pp. 2983-2989, May 2016.
- [18] S. Yan, P. J. Soh, and G. A. E. Vandenbosch, "Low-profile dual-band textile antenna with artificial magnetic conductor plane," *IEEE Trans. Antennas Propag.*, vol. 62, no. 12, pp. 6487-6490, Dec. 2014.
- [19] E. Ameri, S. H. Esmaeli, and S. H. Sedighy, "Wide band radar cross section reduction by thin AMC structure," *AEU-Int. J. Electron. Commun.*, vol. 93, pp. 150-153, Sept. 2018.
- [20] A. T. Almutawa and G. Mumcu, "Small artificial magnetic conductor backed log-periodic microstrip patch antenna," *IET Microw. Antennas Propag.*, vol. 7, no. 14, pp. 1137-1144, Apr. 2013.
- [21] B. S. Cook and A. Shamim, "Utilizing wideband AMC structures for high-gain inkjet-printed antennas on lossy paper substrate," *IEEE Antennas Wireless Propag. Lett.*, vol. 12, pp. 76-79, Jan. 2013.

علی ابوالمعصومی در سال ۱۳۹۹ مدرک کارشناسی مهندسی برق خود را از دانشگاه اراک دریافت نمود. نامبرده از سال ۱۴۰۰ در مقطع کارشناسی ارشد مخابرات در دانشگاه تهران مشغول به تحصیل است. زمینه‌های علمی مورد علاقه ایشان شامل موضوعاتی مانند آتن و سیستم‌های مخابراتی است.